

## Übungen zu Analysis 3, 6. Übung 18. 11. 2019

46. Zeigen Sie

$$\int_0^\infty \frac{\sin x}{x} dx = \frac{\pi}{2}$$

indem Sie  $\int_0^\infty \frac{\sin x}{x} e^{-\lambda x} dx$  nach  $\lambda$  differenzieren mit genauer Begründung aller nichttrivialer Rechenschritte und Erklärung in welchem Sinn auftretende Integrale existieren.

47. Zeigen Sie

$$\frac{\sin x}{x} = \frac{a_0}{2} + \sum_{n=1}^{\infty} a_n \cos nx$$

mit  $a_n = \frac{1}{\pi} \int_{(n-1)\pi}^{(n+1)\pi} \frac{\sin x}{x} dx$  und berechnen Sie damit

$$\int_0^\infty \frac{\sin x}{x} dx.$$

48. Zeigen Sie: Ist  $f \in L^1(\mathbb{R})$  ungerade, so existiert  $\int_0^t \frac{\hat{f}(\xi)}{\xi} d\xi$  für  $t > 0$  und es gilt

$$\forall t > 0: \quad \left| \int_0^t \frac{\hat{f}(\xi)}{\xi} d\xi \right| \leq \sqrt{\frac{2}{\pi}} C \|f\|_1, \quad C = \sup \left\{ \left| \int_0^t \frac{\sin \xi}{\xi} d\xi \right| : t > 0 \right\} < \infty.$$

Zeigen Sie damit, dass die Fouriertransformation nicht surjektiv von  $L^1(\mathbb{R})$  nach  $C_0(\mathbb{R})$  abbildet.

Hinw.: Zeigen Sie, dass  $g$  nicht auf  $\mathbb{R}_+$  integrierbar ist für  $g(x) = \frac{1}{x \ln x}$ ,  $x > 2$ .

49. Seien  $(M_1, d_1), (M_2, d_2)$  metrische Räume und  $f: M_1 \rightarrow M_2$  eine Hölder-stetige Abbildung, d.h. es gibt  $C, \gamma$  mit  $d_2(f(x), f(y)) \leq C d_1(x, y)^\gamma \forall x, y \in M_1$ . Zeigen Sie, dass die Hausdorffdimension von  $M_2$  durch  $\frac{1}{\gamma}$  mal der Hausdorffdimension von  $M_1$  beschränkt ist.

50. Sei  $\mu$  ein Maß auf dem metrischen Raum  $M$  mit  $\mu(M) > 0$ . Zeigen Sie dass

$$\frac{2^s}{\omega_s} H_\delta^s(M) \geq \mu(M)^2 \left( \int \int_{\{(x,y): d(x,y) < \delta\}} d(x,y)^{-s} d\mu(x) d\mu(y) \right)^{-1}$$

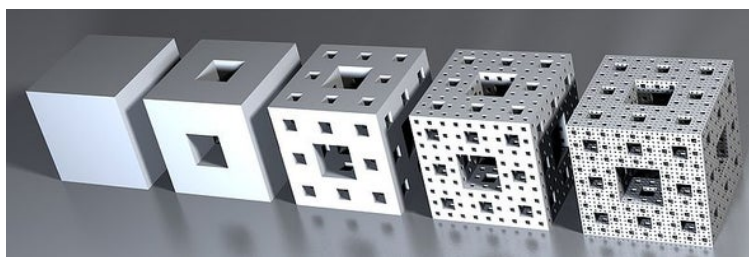
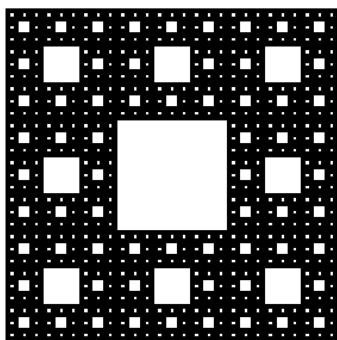
gilt.

Hinw.: Für eine  $\delta$ -Überdeckung  $(C_i)$  gilt  $\{(x,y) : d(x,y) < \delta\} \supseteq \cup C_i$ . Betr. sie eine paarweise disjunkte Überdeckung und verwenden Sie Cauchy-Schwarz.

51. Zeigen Sie dass das Bild einer kompakten Menge  $K$  in einem metr. Raum  $(M_1, d_1)$  unter einer injektiven stetigen Abbildung  $f$  in einen metr. Raum  $(M_2, d_2)$  nicht notwendigerweise die gleiche Hausdorffdimension hat.

Hinw.: Betrachten sie  $[0, 1]$  mit  $d_1(x, y) = |x - y|$  und  $d_2(x, y) = \sqrt{|x - y|}$ .

52. Den Sierpinski-teppich  $T$  erhält man indem man das abg. Einheitsquadrat in 9 gleichgroße abg. Teilquadrate der Kantenlänge  $1/3$  zerlegt und das Innere des mittleren entfernt. Im nächsten Schritt zerlegt man die verbleibenden 8 Teilquadrate in 9 gleichgroße abgeschlossene Teilquadrate der Kantenlänge  $1/9$  und entfernt das Innere des mittleren. Mit den verbliebenen  $8^2$  fährt man so fort. Geben Sie eine Abbildung  $A$  des Einheitsquadrates  $W$  auf sich mit  $T = AT = \lim_{n \rightarrow \infty} A^n W$ .



Bestimmen Sie eine möglichst gute obere Schranke für die Hausdorffdimension des Sierpinski-teppichs.

Definieren Sie den Menger-Würfel (Bild 2) und berechnen Sie für ihn eine möglichst gute obere Schranke.

53. Definieren Sie auf einem metrischen Raum  $(X, d)$  Mengenfunktionen  $\mathcal{B}_\delta^s$  analog zum Hausdorffmaß aber mit der zusätzlichen Forderung dass die Mengen der Überdeckung Kugeln  $B(x_i, r_i)$  um Punkte  $x_i \in X$  und  $2r_i \leq \delta$  sind. Zeigen Sie, dass diese Mengenfunktionen  $\mathcal{B}_\delta^s$  äußere Maße sind, dass der Grenzwert  $\mathcal{B}^s(A) = \lim_{\delta \rightarrow 0} \mathcal{B}_\delta^s(A)$  für jede Teilmenge  $A$  von  $X$  existiert und  $\mathcal{B}$  ein Borelmaß ist.

Geben sie pos. Schranken  $a, b$  für die  $a\mathcal{B}^s(A) \leq \mathcal{H}^s(A) \leq b\mathcal{B}^s(A)$  gilt.

54. Zeigen Sie den folgenden Überdeckungssatz: Sei  $K$  ein kompakter metrischer Raum und  $\cup_{i \in I} B(x_i, r_i) = K$  eine Überdeckung. Dann gibt es eine endliche Teilmenge  $I_0 \subset I$  mit  $\cup_{j \in I_0} B(x_j, 3r_j) = K$  und die Kugeln  $\{B(x_i, r_i) : i \in I_0\}$  sind paarweise disjunkt.